

Ein und Ausgabe: Farbmetrisches Drucker-Reflexiv-System FR522_96a
 Daten für jede Farbe:
 $u^*_e = r_{50}$ $v^*_d = 00$
 Elementar-Bunttonexte:
 $u^*_e = 16$ Bunttonexte r_{50} , r_{25} , ..., b_{75r}
 Kontrastreduzierungs-faktor:
 $c_{kr} = 1.0$

FR522_96a adaptierte CIELAB-Daten
 L^* , a^* , b^* , C_{ab} , h_{ab} , M_a , M_b , M_c , M_m , M_y

Ost	48.49	66.19	40.28	77.48	31	
Yst	90.26	-0.62	88.21	88.73	96	
Ym	55.82	-65.29	33.87	73.56	153	
Yb	65.2	35.87	59.45	69.43	59	
o42r	75.7	74.97	18.14	70.66	72.95	76
o69r	86.84	-3.4	84.28	84.35	92	
o99r	80.13	-25.99	72.23	76.76	110	
o24r	69.85	-42.61	56.0	70.37	127	
o55r	75.7	60.33	-57.99	40.99	71.02	145
o85r	60.06	57.26	-58.35	18.71	61.27	162
o12r	62.98	98.78	-46.2	-7.82	46.86	190
o16r	55.08	61.68	-37.02	-27.87	46.34	217
o17r	67.50	56.81	-20.63	-42.98	47.67	244
o19r	60.06	42.98	1.37	-45.05	45.07	272
o20r	62.5	28.03	27.03	-46.5	53.78	300
o26r	65.06	37.82	48.22	-29.42	56.48	329
o29r	67.5	49.41	72.75	-3.76	72.85	357

FR522_96a adaptierte CIELAB-Daten
 L^* , a^* , b^* , C_{ab} , h_{ab} , M_a , M_b , M_c , M_m , M_y

Ost	48.49	66.19	40.28	77.48	31	
Yst	90.26	-0.62	88.21	88.73	96	
Ym	55.82	-65.29	33.87	73.56	153	
Yb	65.2	35.87	59.45	69.43	59	
o42r	75.7	74.97	18.14	70.66	72.95	76
o69r	86.84	-3.4	84.28	84.35	92	
o99r	80.13	-25.99	72.23	76.76	110	
o24r	69.85	-42.61	56.0	70.37	127	
o55r	75.7	60.33	-57.99	40.99	71.02	145
o85r	60.06	57.26	-58.35	18.71	61.27	162
o12r	62.98	98.78	-46.2	-7.82	46.86	190
o16r	55.08	61.68	-37.02	-27.87	46.34	217
o17r	67.50	56.81	-20.63	-42.98	47.67	244
o19r	60.06	42.98	1.37	-45.05	45.07	272
o20r	62.5	28.03	27.03	-46.5	53.78	300
o26r	65.06	37.82	48.22	-29.42	56.48	329
o29r	67.5	49.41	72.75	-3.76	72.85	357



Ein und Ausgabe: Farbmetrisches Drucker-Reflexiv-System FR522_96, L* = 22_96 für relativen CIELAB-Buntton $h^* = lab^*h^* = h_{ab}/360 = 0.164$ $u^*_e = r_{50}$

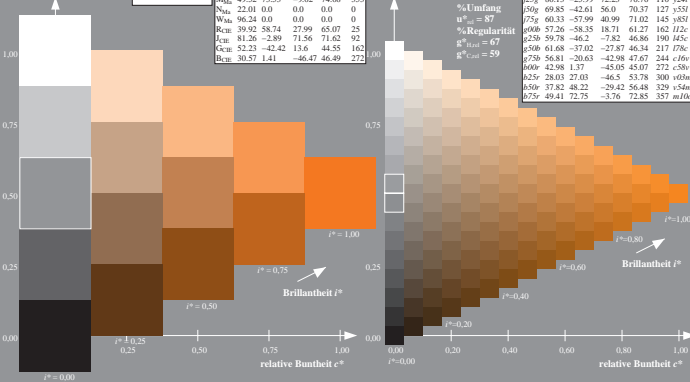
Daten für jede Farbe:
 lab^*h^* und lab^*v^*
 Bunttonexte:
 $u^*_e = r_{50}$ $v^*_d = 042y$
 Kontrastreduzierungs-faktor:
 $c_{kr} = 1.0$
 Dreiecks-Helligkeit r^*

FR522_96a adaptierte CIELAB-Daten
 L^* , a^* , b^* , C_{ab} , h_{ab} , M_a , M_b , M_c , M_m , M_y

Ost	48.49	66.19	40.28	77.48	31	
Yst	90.26	-0.62	88.21	88.73	96	
Ym	55.82	-65.29	33.87	73.56	153	
Yb	65.2	35.87	59.45	69.43	59	
o42r	75.7	74.97	18.14	70.66	72.95	76
o69r	86.84	-3.4	84.28	84.35	92	
o99r	80.13	-25.99	72.23	76.76	110	
o24r	69.85	-42.61	56.0	70.37	127	
o55r	75.7	60.33	-57.99	40.99	71.02	145
o85r	60.06	57.26	-58.35	18.71	61.27	162
o12r	62.98	98.78	-46.2	-7.82	46.86	190
o16r	55.08	61.68	-37.02	-27.87	46.34	217
o17r	67.50	56.81	-20.63	-42.98	47.67	244
o19r	60.06	42.98	1.37	-45.05	45.07	272
o20r	62.5	28.03	27.03	-46.5	53.78	300
o26r	65.06	37.82	48.22	-29.42	56.48	329
o29r	67.5	49.41	72.75	-3.76	72.85	357

FR522_96a adaptierte CIELAB-Daten
 L^* , a^* , b^* , C_{ab} , h_{ab} , M_a , M_b , M_c , M_m , M_y

Ost	48.49	66.19	40.28	77.48	31	
Yst	90.26	-0.62	88.21	88.73	96	
Ym	55.82	-65.29	33.87	73.56	153	
Yb	65.2	35.87	59.45	69.43	59	
o42r	75.7	74.97	18.14	70.66	72.95	76
o69r	86.84	-3.4	84.28	84.35	92	
o99r	80.13	-25.99	72.23	76.76	110	
o24r	69.85	-42.61	56.0	70.37	127	
o55r	75.7	60.33	-57.99	40.99	71.02	145
o85r	60.06	57.26	-58.35	18.71	61.27	162
o12r	62.98	98.78	-46.2	-7.82	46.86	190
o16r	55.08	61.68	-37.02	-27.87	46.34	217
o17r	67.50	56.81	-20.63	-42.98	47.67	244
o19r	60.06	42.98	1.37	-45.05	45.07	272
o20r	62.5	28.03	27.03	-46.5	53.78	300
o26r	65.06	37.82	48.22	-29.42	56.48	329
o29r	67.5	49.41	72.75	-3.76	72.85	357



Ein und Ausgabe: Farbmetrisches Drucker-Reflexiv-System FR522_96, L* = 22_96 für relativen CIELAB-Buntton $h^* = lab^*h^* = h_{ab}/360 = 0.305$ $u^*_e = r_{50}$

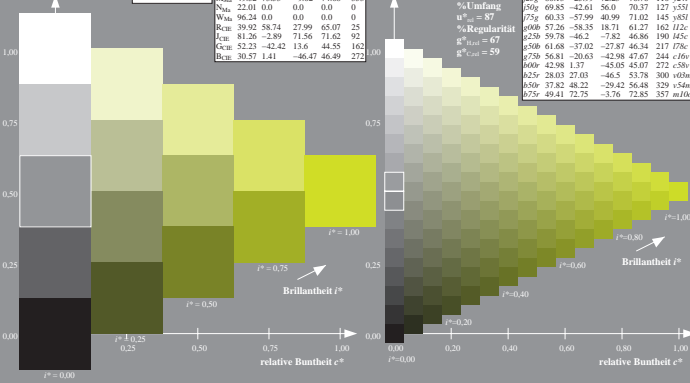
Daten für jede Farbe:
 lab^*h^* und lab^*v^*
 Bunttonexte:
 $u^*_e = r_{50}$ $v^*_d = 042y$
 Kontrastreduzierungs-faktor:
 $c_{kr} = 1.0$
 Dreiecks-Helligkeit r^*

FR522_96a adaptierte CIELAB-Daten
 L^* , a^* , b^* , C_{ab} , h_{ab} , M_a , M_b , M_c , M_m , M_y

Ost	48.49	66.19	40.28	77.48	31	
Yst	90.26	-0.62	88.21	88.73	96	
Ym	55.82	-65.29	33.87	73.56	153	
Yb	65.2	35.87	59.45	69.43	59	
o42r	75.7	74.97	18.14	70.66	72.95	76
o69r	86.84	-3.4	84.28	84.35	92	
o99r	80.13	-25.99	72.23	76.76	110	
o24r	69.85	-42.61	56.0	70.37	127	
o55r	75.7	60.33	-57.99	40.99	71.02	145
o85r	60.06	57.26	-58.35	18.71	61.27	162
o12r	62.98	98.78	-46.2	-7.82	46.86	190
o16r	55.08	61.68	-37.02	-27.87	46.34	217
o17r	67.50	56.81	-20.63	-42.98	47.67	244
o19r	60.06	42.98	1.37	-45.05	45.07	272
o20r	62.5	28.03	27.03	-46.5	53.78	300
o26r	65.06	37.82	48.22	-29.42	56.48	329
o29r	67.5	49.41	72.75	-3.76	72.85	357

FR522_96a adaptierte CIELAB-Daten
 L^* , a^* , b^* , C_{ab} , h_{ab} , M_a , M_b , M_c , M_m , M_y

Ost	48.49	66.19	40.28	77.48	31	
Yst	90.26	-0.62	88.21	88.73	96	
Ym	55.82	-65.29	33.87	73.56	153	
Yb	65.2	35.87	59.45	69.43	59	
o42r	75.7	74.97	18.14	70.66	72.95	76
o69r	86.84	-3.4	84.28	84.35	92	
o99r	80.13	-25.99	72.23	76.76	110	
o24r	69.85	-42.61	56.0	70.37	127	
o55r	75.7	60.33	-57.99	40.99	71.02	145
o85r	60.06	57.26	-58.35	18.71	61.27	162
o12r	62.98	98.78	-46.2	-7.82	46.86	190
o16r	55.08	61.68	-37.02	-27.87	46.34	217
o17r	67.50	56.81	-20.63	-42.98	47.67	244
o19r	60.06	42.98	1.37	-45.05	45.07	272
o20r	62.5	28.03	27.03	-46.5	53.78	300
o26r	65.06	37.82	48.22	-29.42	56.48	329
o29r	67.5	49.41	72.75	-3.76	72.85	357



Ein und Ausgabe: Farbmetrisches Drucker-Reflexiv-System FR522_96, L* = 22_96 für relativen CIELAB-Buntton $h^* = lab^*h^* = h_{ab}/360 = 0.071$ $u^*_e = r_{50}$

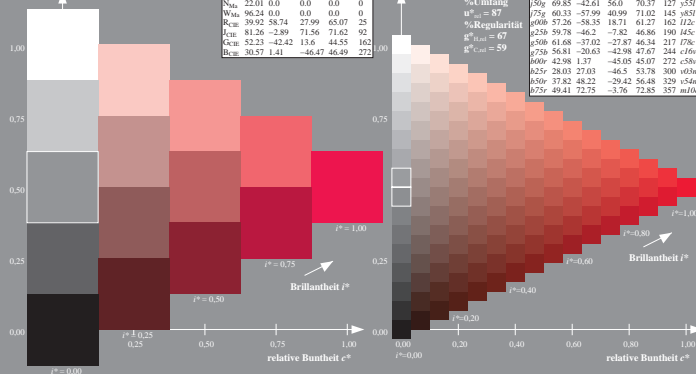
Daten für jede Farbe:
 lab^*h^* und lab^*v^*
 Bunttonexte:
 $u^*_e = r_{50}$ $v^*_d = m84o$
 Kontrastreduzierungs-faktor:
 $c_{kr} = 1.0$
 Dreiecks-Helligkeit r^*

FR522_96a adaptierte CIELAB-Daten
 L^* , a^* , b^* , C_{ab} , h_{ab} , M_a , M_b , M_c , M_m , M_y

Ost	48.49	66.19	40.28	77.48	31	
Yst	90.26	-0.62	88.21	88.73	96	
Ym	55.82	-65.29	33.87	73.56	153	
Yb	65.2	35.87	59.45	69.43	59	
o42r	75.7	74.97	18.14	70.66	72.95	76
o69r	86.84	-3.4	84.28	84.35	92	
o99r	80.13	-25.99	72.23	76.76	110	
o24r	69.85	-42.61	56.0	70.37	127	
o55r	75.7	60.33	-57.99	40.99	71.02	145
o85r	60.06	57.26	-58.35	18.71	61.27	162
o12r	62.98	98.78	-46.2	-7.82	46.86	190
o16r	55.08	61.68	-37.02	-27.87	46.34	217
o17r	67.50	56.81	-20.63	-42.98	47.67	244
o19r	60.06	42.98	1.37	-45.05	45.07	272
o20r	62.5	28.03	27.03	-46.5	53.78	300
o26r	65.06	37.82	48.22	-29.42	56.48	329
o29r	67.5	49.41	72.75	-3.76	72.85	357

FR522_96a adaptierte CIELAB-Daten
 L^* , a^* , b^* , C_{ab} , h_{ab} , M_a , M_b , M_c , M_m , M_y

Ost	48.49	66.19	40.28	77.48	31	
Yst	90.26	-0.62	88.21	88.73	96	
Ym	55.82	-65.29	33.87	73.56	153	
Yb	65.2	35.87	59.45	69.43	59	
o42r	75.7	74.97	18.14	70.66	72.95	76
o69r	86.84	-3.4	84.28	84.35	92	
o99r	80.13	-25.99	72.23	76.76	110	
o24r	69.85	-42.61	56.0	70.37	127	
o55r	75.7	60.33	-57.99	40.99	71.02	145
o85r	60.06	57.26	-58.35	18.71	61.27	162
o12r	62.98	98.78	-46.2	-7.82	46.86	190
o16r	55.08	61.68	-37.02	-27.87	46.34	217
o17r	67.50	56.81	-20.63	-42.98	47.67	244
o19r	60.06	42.98	1.37	-45.05	45.07	272
o20r	62.5	28.03	27.03	-46.5	53.78	300
o26r	65.06	37.82	48.22	-29.42	56.48	329
o29r	67.5	49.41	72.75	-3.76	72.85	357



Ein und Ausgabe: Farbmetrisches Drucker-Reflexiv-System FR522_96, L* = 22_96 für relativen CIELAB-Buntton $h^* = lab^*h^* = h_{ab}/360 = 0.21$ $u^*_e = r_{50}$

Daten für jede Farbe:
 lab^*h^* und lab^*v^*
 Bunttonexte:
 $u^*_e = r_{50}$ $v^*_d = 066y$
 Kontrastreduzierungs-faktor:
 $c_{kr} = 1.0$
 Dreiecks-Helligkeit r^*

FR522_96a adaptierte CIELAB-Daten
 L^* , a^* , b^* , C_{ab} , h_{ab} , M_a , M_b , M_c , M_m , M_y

Ost	48.49	66.19	40.28	77.48	31	
Yst	90.26	-0.62	88.21	88.73	96	
Ym	55.82	-65.29	33.87	73.56	153	
Yb	65.2	35.87	59.45	69.43	59	
o42r	75.7	74.97	18.14	70.66	72.95	76
o69r	86.84	-3.4	84.28	84.35	92	
o99r	80.13	-25.99	72.23	76.76	110	
o24r	69.85	-42.61	56.0	70.37	127	
o55r	75.7	60.33				

